



## شبیه سازی و آنالیز رفتار ارتعاشی درخت زیتون با استفاده از نرم افزار ANSYS (۱۸۴)

جهانگیر علی‌پور<sup>۱</sup>، اسد مدرس مطلق<sup>۲</sup>، عالالدین رحمانی دیدار<sup>۳</sup>

### چکیده

استفاده از ماشین‌های برداشت مکانیکی میوه‌ها، در کشاورزی مکانیزه به طور روزافزونی اهمیت پیدا می‌کند. اکثر ماشین‌های برداشت میوه به شاخه یا تنہ درخت نیروی ارتعاشی اعمال می‌کنند. آگاهی از خواص و رفتار ارتعاشی اجزاء مختلف درخت، یکی از فاکتورهای مهم در طراحی تکاننده‌های مناسب و یا اصلاح تکاننده‌های موجود می‌باشد. با شبیه‌سازی ارتعاشی درخت می‌توان این خواص و رفتارها را برای محصولات درختی گوناگون بدون نیاز به آزمایش‌های مزروعه‌ای متنوع بدست آورد. در این تحقیق برای شبیه‌سازی ارتعاشی درخت زیتون از مدل اجزاء محدود ایجاد شده توسط نرم‌افزار ANSYS بهره گرفته شده و آنالیز ارتعاشی هارمونیک روی این مدل که تحت تاثیر نیروی ارتعاشی حاصل از یک تکاننده‌ی تنہ قرار داشت، انجام پذیرفته است. نتایج نشان می‌دهد که:

- ۱- ارتعاش تنہ درخت در بسامد ۱۲/۵ هرتز، سبب بیشترین تغییر مکان گره اتصال تکاننده به تنہ می‌شود.
- ۲- ارتعاش تنہ درخت در بسامد ۱۷ هرتز (بسامد طبیعی دوم سیستم میوه-دم میوه)، سبب ایجاد بیشترین تنفس ماکریم میانگین در دم میوه‌ها می‌شود.
- ۳- به هنگام ارتعاش تنہ درخت زیتون در بسامد های کاری تکاننده‌های متداول، احتمال جدا شدن میوه‌های زیتون بدون دم میوه بسیار زیاد می‌باشد.

**کلیدواژه:** تکاننده‌ی درخت، شبیه‌سازی ارتعاشی، روش اجزاء محدود، نرم‌افزار ANSYS

۱- کارشناس ارشد مکانیک ماشین‌های کشاورزی، مرکز تحقیقات مهندسی جهاد کشاورزی استان آذربایجان شرقی  
پست الکترونیک: j\_alipor@yahoo.com

۲- استادیار، گروه مهندسی مکانیک ماشین‌های کشاورزی، دانشگاه ارومیه

۳- استادیار، گروه مهندسی مکانیک ماشین‌های کشاورزی، دانشگاه ارومیه



## مقدمه

برداشت میوه به صورت دستی اقدامی طاقت فرسا، خسته کننده و پرهزینه می باشد که برای رفع این مشکل ماشین های برداشت میوه با مکانیزهای مختلف از اواسط قرن بیست در کشورهای توسعه یافته مورد استفاده قرار گرفته اند. متدالولرین و پرکاربردترین نوع ماشینهای برداشت میوه تکاننده های اینرسی می باشند؛ که با تولید نیروی اینرسی و اعمال آن به تنه یا شاخه ای درخت موجب ارتعاش اجزاء مختلف درخت و در نتیجه جدا شدن میوه ها از درخت می گردد. دو مکانیزم عمدۀ برای ایجاد نیروی اینرسی در تکاننده ها، مکانیزم لنگ-لغزندۀ و مکانیزم جرم های نامتعادل می باشد. از تکاننده های اینرسی برای برداشت میوه هایی همچون بادام، پسته، زیتون و ... استفاده می شود که در سالهای اخیر تلاشهایی برای طراحی، ساخت و استفاده از این تکاننده ها در ایران آغاز شده است.

آنالیز ارتعاشی اجزاء مختلف درخت و آگاهی از رفتار و خواص ارتعاشی آنها یکی از عوامل موثر در طراحی و بهینه سازی تکاننده های اینرسی می باشد. با درک بهتر رفتار ارتعاشی درخت، می توان تکاننده های موجود را برای کاربرد در برداشت سایر محصولات درختی بدون نیاز به آزمایش های وسیع و با حداقل تغییرات اصلاح کرد [۱۲].

آدریان<sup>۱</sup> و فریدلی<sup>۲</sup> در سال ۱۹۶۵ ، برای تجزیه و تحلیل ارتعاشات درختی که تحت تأثیر نیروی ارتعاشی یک تکاننده جرم های نامتعادل قرار داشت، فرضیاتی را در نظر گرفتند که عبارتند از: (۱) سیستم دارای یک درجه ای آزادی است. (۲) نیروی محركه به صورت سینوسی تغییر می کند. (۳) نیروی بازگرداننده سیستم به حالت اولیه با تغییر مکان متناسب است. (۴) میرایی لزجی است (نیروی میرایی با سرعت متناسب است). (۵) ارتعاش پایدار رخ می دهد. (۶) انرژی توسط تکاننده ذخیره می شود. آنها درنهایت با استفاده از معادله دیفرانسیل زیر که از قانون دوم نیوتون پیروی می کند به تحلیل پرداختند (رابطه شماره ۱).

$$\sum F = ma$$

$$-kx - c \frac{dx}{dt} - m \frac{d^2x}{dt^2} (x + r \cos \omega t) = (M_t - m) \frac{d^2x}{dt^2} \quad (1)$$

که در آن:

$x$  = تغییر مکان لحظه ای محل اتصال تکاننده از حالت تعادل (بر حسب متر)،  $k$  = سختی فنری (بر حسب نیوتون بر متر)،  $c$  = ضریب میرایی لزجی (بر حسب نیوتون ثانیه بر متر)،  $r$  = شاعر خارج از مرکزیت جرم نامتعادل (بر حسب متر)،  $m$  = جرم نامتعادل تکاننده (بر حسب کیلوگرم)،  $M_t$  = جرم موثر کل سیستم (بر حسب کیلوگرم)،  $t$  = زمان (بر حسب ثانیه)،  $\omega$  = بسامد زاویه ای (رادیان بر ثانیه) است [۱].

یانگ<sup>۳</sup> و فریدلی<sup>۴</sup> در سال ۱۹۷۵ مدل کامپیوتی سیستم کامل درخت را تشکیل دادند (شکل ۱) و برای مطالعه ارتعاش کل سیستم درخت از روش اجزاء محدود استفاده کردند. آنها درخت را ترکیبی از سه قسمت: (الف) ساختمند درخت که شامل تنه درخت، شاخه اصلی، شاخه های فرعی و شاخه های آویزان، (ب) میوه و دم میوه، (ج) برگ ها و شاخه های کوچک، در نظر گرفته و خواص مکانیکی اجزاء درخت را الاستیک، همگن و ایزو ترموپیک فرض کردند. معادله دینامیکی درخت مدل سازی شده به صورت زیر بیان گردید (رابطه ۲):

$$[M] \{ \ddot{q} \} + [c] \{ \dot{q} \} + [k] \{ q \} = \{ f \} \quad (2)$$

که در آن:

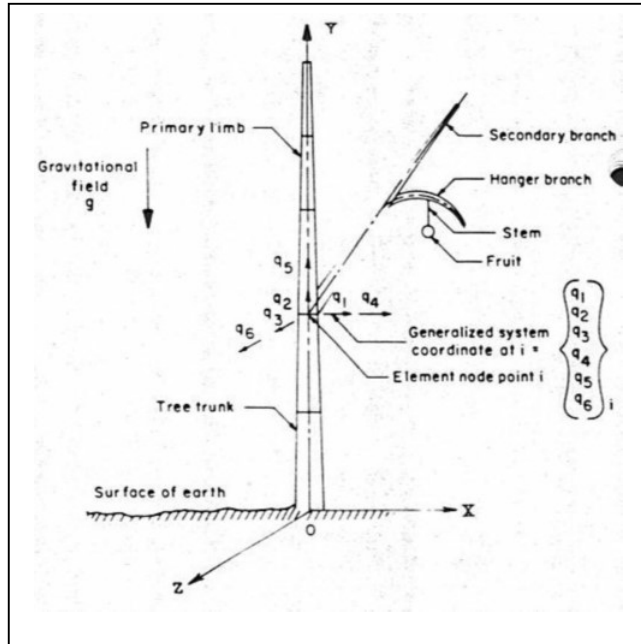
$[M]$  = ماتریس جرم سیستم،  $[c]$  = ماتریس میرایی سیستم،  $[k]$  = ماتریس سختی سیستم،  $\{ q \}$  = بردار تغییر مکان سیستم،  $\{ \dot{q} \}$  = بردار سرعت سیستم،  $\{ \ddot{q} \}$  = بردار شتاب سیستم،  $\{ f \}$  = بردار نیروی سیستم، است [۱۱].

<sup>1</sup>- Adrian

<sup>2</sup>- Fridley

<sup>3</sup>- Yung

<sup>4</sup>- Fridley



شکل ۱- مدل کامل درخت ایجاد شده توسط یانگ و فریدلی [۱۱]

فریدلی و یانگ در تحقیق دیگری با استفاده از مدل اجزای محدودی که قبلاً ایجاد کرده بودند، جداشدن میوه به هنگام تکاندن درخت را روی میوه‌ی درختان قهقهه و زیتون بررسی کردند. در آنالیزهای انجام شده به منظور ساده کردن محاسبات، میرایی حذف گردیده و نیروهای ارتعاشی هارمونیک با بسامدهایی برابر بسامدهای طبیعی سیستم میوه-دم میوه به درخت اعمال گردید. نتایج آنالیز ارتعاشات درخت قهقهه نشان داد که به هنگام اعمال نیروی ارتعاشی با بسامدی برابر بسامد طبیعی اول سیستم میوه-دم میوه (مد چرخشی)، در سیستم تشیدید بوجود می‌آید و تنشهای داخلی زیادی در ساقه و میوه ایجاد می‌گردد؛ که تنش ایجاد شده در محل اتصال دم میوه به شاخه بیشتر از تنش ایجاد شده در محل اتصال آن با میوه است. همچنین نتایج آنالیز ارتعاشات درخت زیتون نشان داد که به هنگام اعمال نیروی ارتعاشی با بسامدی برابر بسامد طبیعی دوم سیستم میوه-دم میوه (مد چرخشی)، در سیستم تشیدید بوجود می‌آید و تنشهای داخلی زیادی در ساقه و میوه ایجاد می‌گردد؛ که تنش ایجاد شده در محل اتصال دم میوه به میوه بیشتر از تنش ایجاد شده در محل اتصال آن با شاخه است [۵].

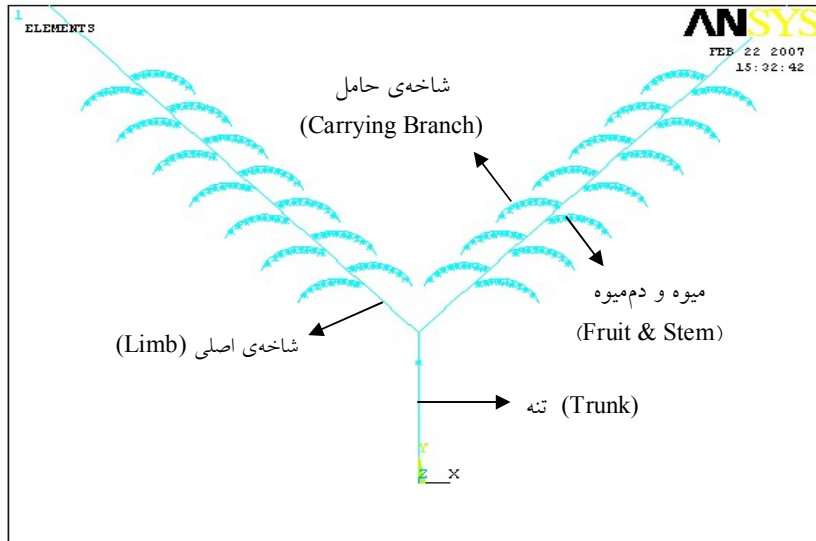
در این تحقیق، شبیه سازی ارتعاشی درخت با استفاده از روش اجزا محدود و بوسیله نرم افزار ANSYS؛ که توانایی مدل سازی و تحلیل سیستم‌های پیچیده را دارد، انجام گردیده است؛ که اهداف اصلی از انجام این شبیه سازی عبارتست از:  
 - ایجاد یک مدل المان محدود درخت کامل، بطوریکه امکان اعمال خواص فیزیکی و مکانیکی مختلف برای اجزاء آن فراهم باشد.  
 - انجام آنالیزهای ارتعاشی بر روی مدل درخت زیتون و آگاهی از رفتار ارتعاشی اجزاء مختلف آن.  
 - تعیین بسامد مناسب تکاندن تنہی درخت زیتون.

## مواد و روشها

به منظور شبیه سازی رفتار ارتعاشی درخت، ابتدا کلیه اجزاء درخت با استفاده از امکانات نرم افزار ANSYS و به صورت مدلی با خواص هندسی و مکانیکی متغیر مدل سازی شده و سپس خواص هندسی و مکانیکی درخت زیتون در آن اعمال گردید. مدل درخت که در شکل ۲ نشان داده شده است، از یک تنہی اصلی، دو عدد شاخه اصلی و تعداد محدودی شاخه‌ی فرعی (شاخه‌ی حامل) تشکیل شده است. در این مدل میوه‌ها همراه با دم میوه‌ها به قسمت‌های مختلف شاخه‌های فرعی متصل شده‌اند. مدل سازی و آنالیزهای ارتعاشی درخت با در نظر گرفتن فرض‌ها و محدودیتهایی انجام گرفت که عبارت‌اند از: (۱) درخت دارای رفارم الاستیک است. (۲) خواص مکانیکی اجزاء درخت همگن و ایزوتروپیک هستند. (۳) نیروی بازگرداننده سیستم به حالت اولیه با

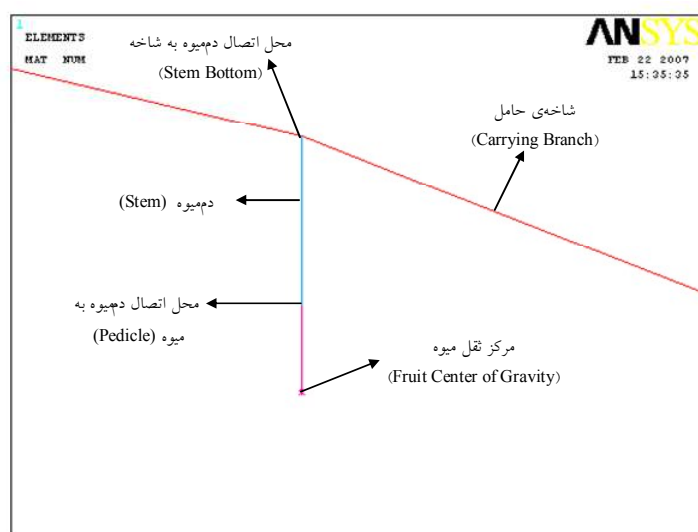


تغییر مکان مناسب است (تغییر شکل الاستیک است). (۴) علی‌رغم استفاده از المانهای سه بعدی در مدل سازی، کلیه‌ی اجزاء درخت در صفحه‌ی ارتعاش قرار دارند. (۵) نیروی تکاننده به صورت سینوسی تغییر می‌کند. (۶) ارتعاش پایدار رخی دهد. (ا) ارتعاش گذرای لحظات اول تکاندن صرف‌نظر شده است. (۷) میرایی لزجی است (نیروی میرایی با سرعت مناسب است).



شکل ۲- مدل درخت کامل ایجاد شده در نرم‌افزار ANSYS

مدل‌سازی درخت و اجزاء آن با استفاده از روش مستقیم که در آن ابتدا گره‌های اجزاء مختلف ایجاد شده و سپس المانها بین گره‌ها و یا روی آنها تعریف می‌شوند، انجام پذیرفته است. برای مدل‌سازی اجزاء ساختمان درخت، شامل تنه و شاخه‌های اصلی و فرعی از المان Beam 44 استفاده گردید. همچنین برای مدل‌سازی هر دم میوه، دو المان Beam 44 مورد استفاده قرار گرفت؛ در حالیکه برای مدل‌سازی هر میوه از یک المان جرم 21 Mass 21 و یک المان Beam 44 استفاده گردید. المان 21 جرم و ممان اینرسی‌های جرمی میوه را شبیه‌سازی می‌کند و استفاده از المان 44 امکان درنظر گرفته شدن فاصله‌ی مرکز تقل میوه تا محل اتصال دم میوه به دم میوه را در شبیه‌سازی فراهم می‌کند. بخش‌های مختلف مدل یک سیستم میوه-دم میوه در شکل ۳ نشان داده شده است.



شکل ۳- سیستم میوه-دم میوه ایجاد شده در نرم‌افزار ANSYS



اکثر خواص فیزیکی و مکانیکی درخت زیتون مورد مطالعه به غیر از میرایی براساس مقادیر ارائه شده توسط فریدلی و یانگ،  
به مدل درخت اعمال شده است. میرایی تاج درخت براساس نتایج تحقیقات انجام شده توسط هوگ<sup>۱</sup> و همکاران در سال ۱۹۷۰  
تعیین شده و نسبت میرایی برابر ۱/۱۵ به خواص مواد کلیهی المانهای تشکیل دهندهی تاج درخت (شاخهای اصلی و فرعی،  
سیستم‌های میوه، دم میوه) در مدل اصلی اعمال گردید. میرایی تنها درخت براساس نتایج تحقیقات انجام شده توسط هروه<sup>۲</sup> و  
سیتکی<sup>۳</sup> در سال ۲۰۰۵، که در آن علاوه بر میرایی داخلی خود تنها، میرایی ناشی از سیستم ریشه نیز در نظر گرفته شده است،  
تعیین شده و نسبت میرایی برابر ۱/۰۷ به خواص مواد تشکیل دهندهی المان‌های تنها اعمال گردید. مقادیر پارامترهای فیزیکی و  
مکانیکی درخت زیتون شبیه سازی شده در جدول ۱ ارائه گردیده است.

برای شبیه سازی ارتعاشات درخت، تحت اثر نیروی ارتعاشی وارد بر تنہی آن، از مشخصات یک تکانندهی اینرسی با مکانیزم جرم-  
های نامتعادل استفاده گردید؛ که مشخصات این تکاننده در جدول ۲ ارائه گردیده است. آنالیزهای انجام شده در این تحقیق،  
براساس این فرض که تکاننده‌های اعمال کننده نیروی ارتعاشی توانایی تغییر بسامد کاری و همچنین شعاع خارج از مرکزیت را  
داشته باشند، انجام پذیرفته است. این توانایی امکان ایجاد دامنه نیروی ارتعاشی ثابت توسط تکاننده را در بسامدهای مختلف  
کاری فراهم می‌آورد.

#### آنالیز ارتعاشی مودال سیستم میوه- دم میوه

برای بدست آوردن بسامدهای طبیعی و شکل مدهای سیستم میوه- دم میوه، این مجموعه به طور مستقل مدل‌سازی گردیده و  
کلیهی درجات آزادی گره ابتدای دم میوه ( محل اتصال دم میوه با شاخهی حامل) برابر صفر در نظر گرفته شد. همچنین به منظور  
اعمال اثر نیروی گرانش در آنالیز، ابتدا یک آنالیز استاتیکی تحت اثر نیروی گرانشی با فعال بودن گزینه‌ی پیش‌تش انجام شده و  
سپس آنالیز مودال سیستم با فعال بودن گزینه‌ی پیش‌تش انجام گردید.

<sup>1</sup>-Hoag

<sup>2</sup>-Horvath

<sup>3</sup>-Sitkei



جدول ۱- پارامتر های فیزیکی و مکانیکی درخت زیتون

واحد	مقدار	پارامتر	واحد	مقدار	پارامتر
نیوتون بر متر مربع	$۳/۱۳۹ \times ۱۰^۹$	مدول الاستیسیته شاخه های فرعی	متر	۱	ارتفاع تنه درخت
متر	۰/۰۰۶	قطر ابتدای شاخه های فرعی	نیوتون بر متر مربع	$۱۱ \times ۱۰^۹$	مدول الاستیسیته تنه
متر	۰/۰۰۱۵	قطر انتهای شاخه های فرعی	-	۰/۱۷	نسبت میرایی تنه
متر	۰/۰۱۴	طول دم میوه	متر	۰/۲	قطر ابتدای تنه
متر	۰/۰۰۲	قطر دم میوه	متر	۰/۱۵	قطر انتهای تنه
نیوتون بر متر مربع	$۰/۶۹ \times ۱۰^۹$	مدول الاستیسیته دم میوه	متر	۳	طول شاخه های اصلی
کیلو گرم	۰/۰۰۶۵	جرم میوه	نیوتون بر متر مربع	$۱۰/۳۵ \times ۱۰^۹$	مدول الاستیسیته شاخه های اصلی
کیلو گرم بر متر مکعب	۱۱۱۰	جرم حجمی اجزاء درخت	متر	۰/۱	قطر ابتدای شاخه های اصلی
-	۰/۱۵	نسبت میرایی تاج درخت	متر	۰/۰۲۵	قطر انتهای شاخه های اصلی
-	۰/۳۴	ضریب پواسون اجزاء درخت	متر	۰/۵	طول شاخه های فرعی

جدول ۲، مشخصات تکاننده شیوه سازی شده [۸]

نوع تکاننده	جرم تکاننده (کیلوگرم)	شعاع خارج از مرکزیت (میلیمتر)	جرم نامتعادل (کیلوگرم)	بسامد کاری (هرتز)	نیروی مورد استفاده در آنالیز (نیوتون)
تکاننده تنه	۶۸۰	۱۰۵	۶۴	۱۰-۱۶	۶۵۰۰

### آنالیز ارتعاشی هارمونیک درخت زیتون

به منظور انجام آنالیز ارتعاشی هارمونیک، پس از مدلسازی درخت، کلیه‌ی درجات آزادی گره ابتدای تنه ( محل اتصال تنه با خاک) برابر صفر منظور گردید و برای اعمال اثر نیروی ناشی از وزن اجزاء درخت و تکاننده در آنالیز، ابتدا یک آنالیز استاتیکی تحت اثر نیروی گرانشی با فعال بودن گزینه‌ی پیش‌نشان انجام شده و سپس آنالیز هارمونیک با استفاده از روش full انجام گردید. نیروی هارمونیک تکاننده در این آنالیزها، درجهت عمود بر تنه و در ارتفاع ۸۰ سانتی متری از سطح زمین با بسامدهایی در محدوده ۴۰-۰ هرتز، به سیستم اعمال گردید.



## نتایج و بحث

### نتایج آنالیز ارتعاشی مودال مجموعه‌ی میوه- دم میوه

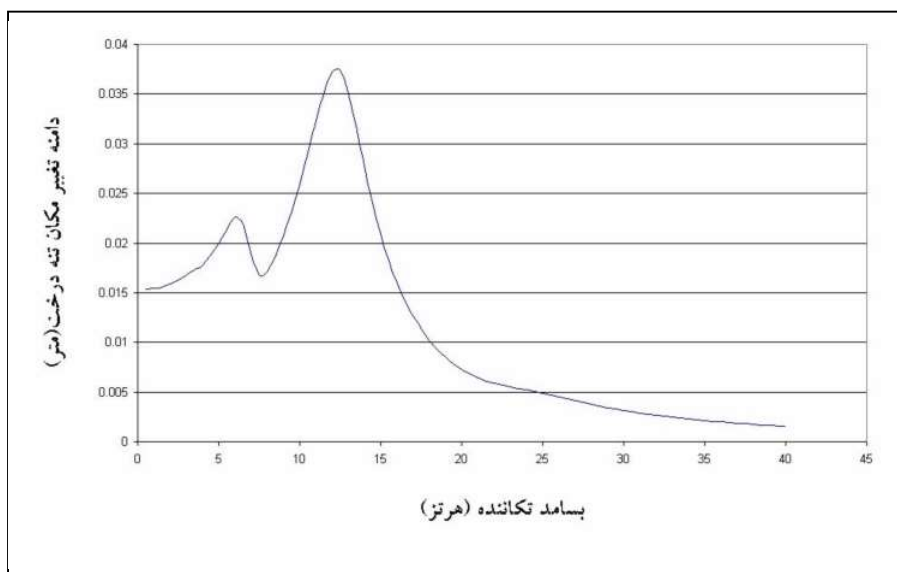
نتایج این آنالیز نشان داد که بسامدهای طبیعی کوچکتر از  $100$  هرتز مجموعه‌ی میوه- دم میوه عبارتند از :

- ۱- مد حرکت پاندولی با بسامد  $3/6$  هرتز
- ۲- مد حرکت چرخشی با بسامد  $16/92$  هرتز
- ۳- مد حرکت طولی با بسامد  $24/53$  هرتز

که این نتایج با بسامدها و شکل مدهای محاسبه شده توسط فریدلی و یانگ به طور قابل قبولی برابر می‌کنند.

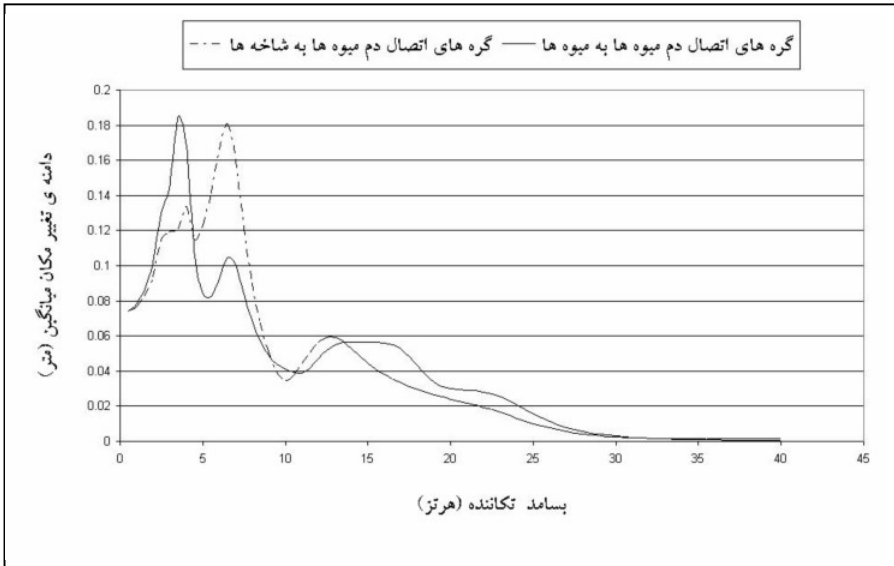
### نتایج آنالیز ارتعاشی هارمونیک درخت زیتون

نمودار دامنه‌ی تغییر مکان گره اتصال تکاننده به تنہ درخت(شکل ۴) نشان می‌دهد؛ که بیشترین دامنه‌ی تغییر مکان تنہ به هنگام ارتعاش در بسامد  $12/5$  هرتز رخ می‌دهد.

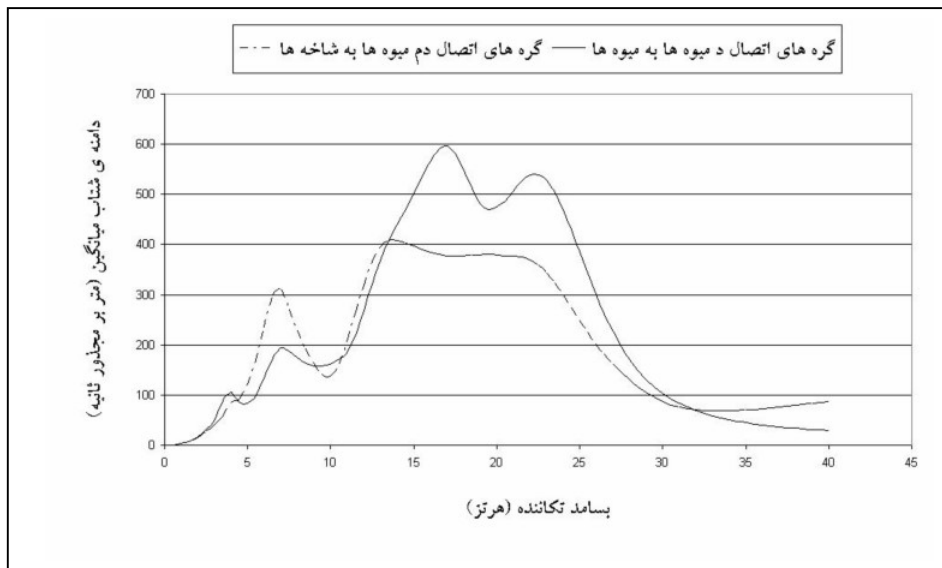


شکل ۴- نمودار دامنه‌ی تغییر مکان گره اتصال تکاننده به تنہ درخت زیتون

نمودار دامنه‌ی تغییر مکان میانگین گره‌های اتصال دم میوه‌ها به شاخه‌های فرعی(شکل ۵) نشان می‌دهد، که بیشترین دامنه‌ی تغییر مکان به هنگام ارتعاش در بسامد  $5/5$  هرتز رخ می‌دهد؛ در حالیکه بر اساس نمودار دامنه‌ی شتاب میانگین گره‌های اتصال دم میوه‌ها به شاخه‌های فرعی(شکل ۶)، بیشترین دامنه‌ی شتاب به هنگام ارتعاش در بسامد  $13/5$  هرتز بدست می‌آید. نمودار دامنه‌ی تغییر مکان میانگین گره‌های اتصال دم میوه‌ها به میوه‌ها(شکل ۵) نشان می‌دهد، که بیشترین دامنه‌ی تغییر مکان به هنگام ارتعاش در بسامد  $5/5$  هرتز(بسامد طبیعی اول سیستم میوه- دم میوه ) رخ می‌دهد؛ در حالیکه بر اساس نمودار دامنه‌ی شتاب میانگین گره‌های اتصال دم میوه‌ها به میوه‌ها(شکل ۶)، بیشترین دامنه‌ی شتاب به هنگام ارتعاش در بسامد  $17$  هرتز (بسامد طبیعی دوم سیستم میوه- دم میوه) بدست می‌آید.



شکل ۵- نمودار دامنه تغییر مکان میانگین گره های اتصال دم میوه ها به شاخه ها و میوه های درخت زیتون

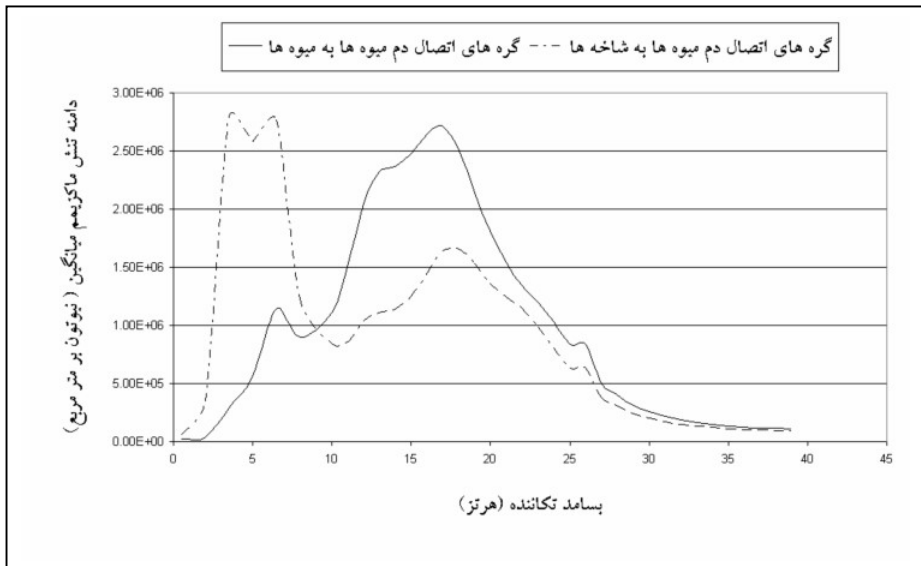


شکل ۶- نمودار دامنه شتاب میانگین گره های اتصال دم میوه ها به شاخه ها و میوه های درخت زیتون

نمودار دامنه تنش ماکریم میانگین گره های اتصال دم میوه ها به شاخه ها (شکل ۷)، نشان می دهد که بیشترین دامنه تنش ماکریم میانگین به هنگام ارتعاش در بسامد  $\frac{3}{5}$  هرتز رخ می دهد ولی با توجه به اینکه این بسامد در محدوده بسامد کاری تکاننده های تجاری متداول ( $10\text{--}40$  هرتز)، قرار ندارد. به نظر می رسد که دیگر نقطه ای اوج نمودار تنش ماکریم میانگین مناسبی برای ایجاد بیشترین مقدار تنش در محل اتصال دم میوه ها به شاخه ها باشد. نمودار دامنه تنش ماکریم میانگین



گره های اتصال دم میوه ها به میوه ها (شکل ۷)، نشان می دهد؛ که بیشترین دامنه تنش ماکریم میانگین به هنگام ارتعاش در بسامد ۱۷ هرتز (بسامد طبیعی دوم سیستم میوه - دم میوه) بدست می آید.



شکل ۷- نمودار دامنه‌ی تنش ماکریم میانگین گره‌های اتصال دم میوه‌ها به شاخه‌ها و میوه‌های درخت زیتون

بررسی نمودارهای ارائه شده در شکل ۷ نشان می دهد که به هنگام ارتعاش تنہی درخت زیتون در بسامدهای کاری تکانندهها (۴۰-۱۰ هرتز)، مقدار تنش ایجاد شده در گره های اتصال دم میوه ها به میوه ها بیشتر از مقدار تنش ایجاد شده در گره های اتصال دم میوه ها به شاخه ها می باشد. فریدلی و یانگ نیز به نتایج مشابهی دست یافته بودند. بنابراین انتظار می رود که در صورت یکسان بودن مقاومت هر دو نقطه‌ی اتصال دم میوه، میوه ها بدون دم میوه از درخت جدا شوند.

بررسی نتایج ارائه شده در این بخش نشان می دهد که به هنگام ارتعاش تنہی درخت زیتون در بسامد ۱۲/۵ هرتز، با وجود زیاد بودن تعییر مکان گره اتصال تکاننده به تنہ (در حدود ۳۷ میلی متر)، مقادیر شتاب و تنش میانگین ایجاد شده در دم میوه کمتر از مقادیر ماکریم آنها که در بسامدهای دیگر به دست آمده است، می باشد. از طرفی گمان می رود که زیاد بودن تعییر مکان تنہ درخت، احتمال آسیب دیدگی تنہ را افزایش دهد. بنابر این به نظر می رسد؛ بسامدی که سبب بیشترین تعییر مکان تنہ می گردد، لزوماً بهینه ترین بسامد ارتعاشی نخواهد بود؛ این در حالیست که ارتعاش درخت زیتون مدل سازی شده در بسامد ۱۷ هرتز (بسامد طبیعی دوم سیستم میوه - دم میوه)، با تعییر مکان بسیار کمتر تنہ درخت (در حدود ۱۲ میلی متر)، امکان ایجاد بیشترین مقادیر تنش ماکریم میانگین در دم میوه را فراهم می آورد. بدیهی است در صورت نیاز به افزایش یا کاهش تنش ایجاد شده در دم میوه، بهترین روش افزایش یا کاهش نیروی اعمالی از طرف تکاننده بدون تعییر بسامد مذکور خواهد بود.



### نتیجه گیری

شبیه سازی درخت زیتون نشان داد که ارتعاش تنہی درخت در بسامد ۱۲/۵ هرتز سبب بیشترین تغییر مکان تنہی درخت می شود؛ در حالیکه ارتعاش در بسامد ۱۷ هرتز (بسامد طبیعی دوم سیستم میوه-دم میوه)، سبب ایجاد بیشترین تنش ماکریزم میانگین در دم میوه می گردد. بنابر این بسامد ۱۷ هرتز می تواند به عنوان بسامد بهینه ای ارتعاشی پیشنهاد گردد. همچنین نتایج آنالیز ارتعاشی درخت زیتون نشان داد که به هنگام ارتعاش تنہی درخت در بسامدهای کاری تکاننده های متداول، به دلیل زیاد بودن تنش در محل اتصال دم میوه به میوه، احتمال جذب میوه های زیتون بدون دم میوه از درخت، بسیار زیاد می باشد.

### مراجع

- 1- Adrian, P.A and Fridley, R.B. 1965. Dynamics and design criteria of inertia-type Tree shaker. Trans. of the ASAE. 8(1): 12-14.
- 2-Alipour, J. 2007, Simulate and Analyse of Vibratory Behavior of Tree Using ANSYS Software. M. Sc. Thesis. Faculty of Agriculture. Urmia University. Urmia. Iran. (In Farsi)
- 3- Anon. 1999. CIGR hand book of agricultural engineering. Vol. III: plant production engineering. Published by ASAE.632p.
- 4- Anon. ANSYS Release 9.0 Documentation.
- 5- Fridley, R.B and Yung, C. 1975. Computer analysis of fruit detachment during tree shaking. Trans of the ASAE. 18(3): 409-415.
- 6- Galili, N., Rubinstein, D. and Shdema, A. 1999. Adaptive shaker for mechanical harvesting of olives and citrus fruits.ASAE paper NO (997061) 13P.
- 7- Hoag, I. D., James, H. and R. B. Fridley. 1970. Effect of proportional, non proportional and nonlinear damping on dynamic response of tree limbs. Trans. of the ASAE. 13(5): 879-884.
- 8- Horvath, E and Sitkei, G. 2001. Energy consumption of selected tree shakers under different operational condition. J. Agric. Engng. 80(2) 191-199.
- 9- Horvath, E and Sitkei, G. 2005. Damping properties of plum tree shaken at their Trunk. Trans. of the ASAE. 48(1):19-25.
- 10- Whitney. J.D., Smerage, G.H. and Block, W.A. 1990. Dynamic analysis of a trunk shaker-post system. Trans. of ASAE. 33(4):1066-1070.
- 11-Yung, C. and Fridley, R.B. 1975 simulation of vibration of whole tree system using finite element. Trans. of ASAE 18(3): 475-481.
- 12-Zabolestan, M. 2004. Determination of almond fruits vibratory resistance and its tree dynamic simulation. Ph. D. Thesis. . Faculty of Agriculture. Tehran University. Karaj. Iran. (In Farsi)